

Parte I: Capítulo 4

4.3 Función de multiplicidad

(The Multiplicity Function)

4.4.1 Representaciones en módulos de persistencia: Desarrollo teórico

(Representations on persistence modules - Theoretical development)

Eduardo Velázquez

26 de octubre de 2023

4.3 Función de Multiplicidad

Sea \mathcal{B} un código de barras, e $I \subset \mathbb{R}$ un intervalo finito.

Denotemos $m(\mathcal{B}, I)$ al número de barras en \mathcal{B} que contienen a I .

Además, sea $I = (a, b]$ y $c \leq \frac{b-a}{2}$ denotemos $I^c = (a + c, b - c]$.

Definición 4.3.2

Se define la **Función de multiplicidad** como

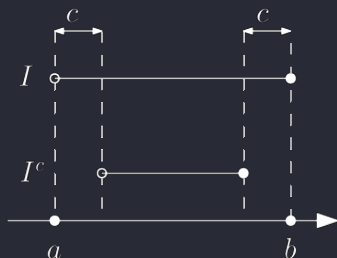
$$\mu_k(\mathcal{B}) = \sup\{c \mid \exists \text{ un intervalo finito } I \text{ de longitud } > 4c, \\ \text{tal que } m(\mathcal{B}, I) = m(\mathcal{B}, I^{2c}) = k\}.$$

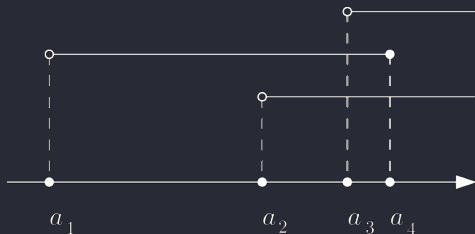
En caso de que no exista dicha c , $\mu_k(\mathcal{B}) = 0$.

Dado $k \in \mathbb{N}$, $\mu_k(\mathcal{B}) = \sup(\{c\})$

$c \in \mathbb{R}$ tal que:

- Podemos encontrar un intervalo I tal que $\frac{\text{Longitud } I}{4} > c$.
- I está contenido en \mathcal{B}
- $m(\mathcal{B}, I) = k$
- $m(\mathcal{B}, I^{2c} = (a + 2c, b - 2c]) = k$





$$\mu_1 = \frac{a_4 - a_1}{4}$$

$$\mu_2 = +\infty$$

$$\mu_3 = \frac{a_4 - a_3}{4}$$

En palabras, dado $k \in \mathbb{N}$, la función de multiplicidad busca la máxima ventana, i.e. un intervalo I de longitud $> 4c$ en \mathbb{R} , tal que arriba de ella y del intervalo acortado I^{2c} existan exactamente k barras.

Ejercicio 4.3.1

Sean \mathcal{B} y \mathcal{C} dos códigos de barras tales que

$$d_{bot}(\mathcal{B}, \mathcal{C}) < c,$$

además, sea I un intervalo de longitud $> 4c$ tal que $m(\mathcal{B}, I) = m(\mathcal{B}, I^{2c}) = m_0$. Entonces

$$m(\mathcal{C}, I^c) = m_0.$$

Por el ejercicio 4.3.1, podemos deducir que para dos códigos de barras \mathcal{B} , \mathcal{C} y cualquier $k \in \mathbb{N}$,

$$|\mu_k(\mathcal{B}) - \mu_k(\mathcal{C})| \leq d_{bot}(\mathcal{B}, \mathcal{C}). \quad (16)$$

Una aplicación de (16) es la siguiente.

Definición 4.3.3

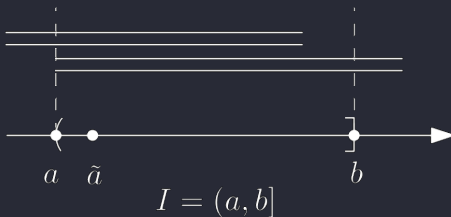
- ▶ Decimos que un módulo de persistencia (V, π) sobre \mathbb{R} admite una **estructura compleja** J si existe un isomorfismo $J : V \rightarrow V$ que satisface $J^2 = -\mathbb{1}$.
- ▶ En tal caso, llamaremos a (V, π) **módulo de persistencia complejo**.
- ▶ Se sigue además que $\dim V_t$ es par $\forall t \in \mathbb{R}$.

Afirmación

(4.3.4) Sea \mathcal{B} el código de barra asociado a un módulo de persistencia (V, π) que admite una estructura compleja, entonces $m(\mathcal{B}, I)$ es par para cualquier intervalo I . En particular, se sigue que para un módulo de persistencia complejo (V, π) , obtenemos $\mu_k(\mathcal{B}(V)) = 0$ para todo entero impar $k \in \mathbb{N}$.

Demostración.

Sea $I = (a, b]$ y $\tilde{a} \in \mathbb{R}$ suficientemente cerca de a tal que $a < \tilde{a} < b$.



Cualquier barra que contenga a I contribuye en $+1$ a $\dim(\text{im } \pi_{\tilde{a}, b})$, es decir, $m(\mathcal{B}, I) = \dim(\text{im } \pi_{\tilde{a}, b})$.

$$\begin{array}{ccc}
 V_{\tilde{a}} & \xrightarrow{\pi_{\tilde{a},b}} & V_b \\
 J_{\tilde{a}} \downarrow & & \downarrow J_b \\
 V_{\tilde{a}} & \xrightarrow{\pi_{\tilde{a},b}} & V_b
 \end{array}$$

Como $\pi_{\tilde{a},b} J_{\tilde{a}} = J_b \pi_{\tilde{a},b}$, entonces $J_b(\text{im } \pi_{\tilde{a},b}) \subset \text{im } \pi_{\tilde{a},b}$, es decir, $J' := J_b|_{\text{im } \pi_{\tilde{a},b}}$ también satisface $(J')^2 = -\mathbb{1} \Rightarrow \dim(\text{im } \pi_{\tilde{a},b})$ es par.



Sea $\mu_{\text{odd}}(\mathcal{B}) := \max_{j \text{ odd}} \mu_j(\mathcal{B})$.

Afirmación

Sea (V, π) un módulo de persistencia. Entonces para todo módulo (W, θ) que admita una estructura compleja, la distancia de entrelazamiento entre ellos está acotada por abajo:

$$d_{\text{int}}((V, \pi), (W, \theta)) \geq \mu_{\text{odd}}(\mathcal{B}(V, \pi)) .$$

Implicaciones:

- ▶ La distancia de entrelazamiento entre cualquier módulo de persistencia (V, π) y la colección de módulos complejos está acotada por abajo por $\mu_{\text{odd}}(\mathcal{B}(V, \pi))$.
- ▶ En el caso de que $\mu_{\text{odd}}(\mathcal{B}(V, \pi)) > 0$, obtenemos una restricción para aproximar un módulo de persistencia (V, π) dado por un módulo de persistencia complejo.

Demostración.

Por el Teorema de Isometría, la desigualdad (16) y la Afirmación 4.3.4, si (W, θ) es un módulo complejo, entonces

$$\begin{aligned} d_{int}((V, \pi), (W, \theta)) &= d_{bot}(\mathcal{B}(V, \pi), \mathcal{B}(W, \theta)) \\ &\geq |\mu_{odd}(\mathcal{B}(V, \pi)) - \mu_{odd}(\mathcal{B}(W, \theta))| \end{aligned}$$



4.4 Representaciones en módulos de persistencia

4.4.1 Desarrollo teórico

Recordemos que la representación de un grupo G es un par (V, ρ) , donde V es un espacio vectorial de dimensión finita y ρ es un homomorfismo de G a $GL(V)$. Adaptaremos este concepto a los módulos de persistencia.

Definición 4.4.2

Una **representación de persistencia de un grupo** G es un par $((V, \pi), \rho)$, donde (V, π) es un módulo de persistencia y ρ es un homomorfismo de G al grupo de automorfismos de persistencia de (V, π) . Una **subrepresentación de persistencia** $((W, \pi), \rho)$ de $((V, \pi), \rho)$ es un submódulo de persistencia (W, π) de (V, π) tal que $\forall t \in \mathbb{R}$, W_t es invariante bajo $\rho(g)_t$ para cualquier $g \in G$.

Ejemplo 1

Un módulo de persistencia con involución (pmi), denotado $((V, \pi), A)$, es una representación de persistencia de $G = \mathbb{Z}_2$. En otras palabras, A es un homomorfismo de G al grupo de persistencia de automorfismos de (V, π) tal que para cualquier $t \in \mathbb{R}$, $A_t^2 = \mathbb{1}$.

Definición 4.3.3

Sean $((V, \pi), \rho^V)$ y $((W, \theta), \rho^W)$ dos representaciones de persistencia del grupo G . Un **morfismo G -persistente** $f : ((V, \pi), \rho^V) \rightarrow ((W, \theta), \rho^W)$ es una \mathbb{R} -familia de morfismos persistentes G -equivariantes $f_t : V_t \rightarrow W_t$, $t \in \mathbb{R}$.

Dado un G -morfismo persistente $f : ((V, \pi), \rho^V) \rightarrow ((W, \theta), \rho^W)$, se puede considerar

$$\ker(f) = \{v \in V_t \mid f_t(v) = 0\}_{t \in \mathbb{R}}$$

y

$$\operatorname{im}(f) = \{f_t(v) \in W_t \mid v \in V_t\}_{t \in \mathbb{R}}.$$

Ejercicio 4.4.4

Demuestre que $(\ker(f), \rho^V)$ es una subrepresentación persistente de $((V, \pi), \rho^V)$ y, análogamente, $(\operatorname{im}(f), \rho^W)$ de $((W, \theta), \rho^W)$.

Ejemplo 4.4.5

Sea $((V, \pi), \rho^V)$ una representación persistente sobre \mathbb{C} del grupo finito $\mathbb{Z}_p = \{0, 1, \dots, p-1\}$. Sea ξ la p -ésima raíz de la unidad. Consideremos $(L_\xi)_t = \ker(\rho(1)_t - \xi \mathbb{1}_{V_t})$ para todo $t \in \mathbb{R}$. Entonces $((\{(L_\xi)_t\}_{t \in \mathbb{R}}, \pi), \rho)$ es una subrepresentación persistente de $((V, \pi), \rho^V)$.

Recordemos que un δ corrimiento de un módulo de persistencia (V, π) , denotado $(V[\delta], \pi[\delta])$, se define como $V[\delta]_t = V_{t+\delta}$ y $\pi[\delta]_{s,t} = \pi_{s+\delta, t+\delta}$. Análogamente, para cualquier morfismo persistence $f : (V, \pi) \rightarrow (W, \theta)$ definimos su δ -corrimiento:

$$\begin{aligned} f[\delta] : (V[\delta], \pi[\delta]) &\rightarrow (W[\delta], \theta[\delta]) \\ (f[\delta])_t &= f_{t+\delta}. \end{aligned}$$

Observe que si $((V, \pi), \rho)$ es una representación persistente de G , también lo es $((V[\delta], \pi[\delta]), \rho[\delta])$.

Definición 4.4.7

Sean $((V, \pi), \rho^V)$ y $((W, \theta), \rho^W)$ dos representaciones de persistencia del grupo G . Decimos que (V, π) y (W, θ) están (δ, G) -entrelazados si existen G -morfismos persistentes $\mathfrak{f} : (V, \pi) \rightarrow (W[\delta], \theta[\delta])$ y $\mathfrak{g} : (W, \theta) \rightarrow (V[\delta], \pi[\delta])$ tales que los siguientes diagramas conmutan:

$$\begin{array}{ccccc} (V, \pi) & \xrightarrow{\mathfrak{f}} & (W[\delta], \theta[\delta]) & \xrightarrow{\mathfrak{g}[\delta]} & (V[2\delta], \pi[2\delta]) \\ & \searrow & & \nearrow & \\ & & \chi_{2\delta}^V & & \end{array}$$

$$\begin{array}{ccccc} (W, \theta) & \xrightarrow{\mathfrak{g}} & (V[\delta], \pi[\delta]) & \xrightarrow{\mathfrak{f}[\delta]} & (W[2\delta], \theta[2\delta]) \\ & \searrow & & \nearrow & \\ & & \chi_{2\delta}^W & & \end{array}$$

Consistentemente, podemos definir la distancia de G -entrelazamiento como

$$d_{G-int}((V, \pi), (W, \theta)) = \inf \{ \delta > 0 \mid (V, \pi) \text{ y } (W, \theta) \text{ están } (\delta, G)\text{-entrelazados} \} .$$

Proposición 4.4.8

Sean $((V, \pi), \rho^V)$ y $((W, \theta), \rho^W)$ dos representaciones de persistencia del grupo G . Entonces,

$$d_{G-int}((V, \pi), (W, \theta)) \geq d_{int}((V, \pi), (W, \theta)) .$$

Ejemplo 4.4.9

Sean $((V, \pi), \rho^V)$ y $((W, \theta), \rho^W)$ dos representaciones de persistencia sobre \mathbb{C} del grupo finito $\mathbb{Z}_p = \{0, 1, \dots, p-1\}$, con p un número primo. Para cualquier raíz p -ésima de la unidad ξ , denotemos como $((L_\xi^V, \pi), \rho^V)$ y $((L_\xi^W, \theta), \rho^W)$ a las subrepresentaciones de persistencia de $((V, \pi), \rho^V)$ y $((W, \theta), \rho^W)$, respectivamente (ver Ejemplo 4.4.5). Si $((V, \pi), \rho^V)$ y $((W, \theta), \rho^W)$ están (δ, G) -entrelazados, se puede demostrar que $((L_\xi^V, \pi), \rho^V)$ y $((L_\xi^W, \theta), \rho^W)$ también están (δ, G) -entrelazados. Por tanto,

$$\begin{aligned}
 d_{G-int}((V, \pi), (W, \theta)) &\geq d_{G-int}((L_\xi^V, \pi), (L_\xi^W, \theta)) \\
 &\geq d_{int}((L_\xi^V, \pi), (L_\xi^W, \theta)) \\
 &= d_{bot}((L_\xi^V, \pi), (L_\xi^W, \theta)) .
 \end{aligned}$$

En esta sección no se trabaja con el caso general $G = \mathbb{Z}_p$ sino sólo con $p = 2, 4$. Note que si \mathbb{Z}_4 actúa en un conjunto, esta acción induce una \mathbb{Z}_2 -acción sobre el mismo conjunto, por el homomorfismo $\mathbb{Z}_2 \rightarrow \mathbb{Z}_4, 1 \mapsto 2$. Decimos que un módulo de persistencia con involución (pmi) $((W, \theta), B)$ es un \mathbb{Z}_4 -pmi si su \mathbb{Z}_2 acción B proviene de una \mathbb{Z}_4 -acción, es decir, si existe un morfismo de persistencia $C : (W, \theta) \rightarrow (W, \theta)$, tal que $B = C^2$ y $C^4 = \mathbb{1}$.

Sea $((V, \pi), A)$ un pmi. Retomando el Ejemplo 4.4.5 con $\xi = -1$, denotemos L^V al módulo de persistencia resultante construido a partir de los (-1) -espacios propios.

Teorema 4.4.11

Sea $((V, \pi), A)$ un módulo de persistencia con involución (pmi). La \mathbb{Z}_2 -distancia de entrelazamiento entre V y la colección de módulos de persistencia con involución cuya \mathbb{Z}_2 acción proviene de una \mathbb{Z}_4 , está acotada por abajo en términos de la función de multiplicidad: Para cualquier \mathbb{Z}_4 -pmi $((W, \theta), B)$,

$$d_{\mathbb{Z}_2-int}(V, W) \geq \mu_{odd}(L^V).$$

Demostración.

Ejercicio 4.4.12:

1. Demostrar que si (V, π) y (W, θ) están \mathbb{Z}_2 -entrelazados, entonces L^V y L^W están δ -entrelazados.
2. Demostrar que $C(L^W) = L^W$, y deducir que $C^2|_{L^W} = -\mathbb{1}$.

En consecuencia, L^W es un módulo de persistencia complejo (Definición 4.3.3). Por tanto, por la Afirmación 4.3.5,

$$d_{\mathbb{Z}_2-int}((V, \pi), (W, \theta)) \geq d_{int}(L^V, L^W) \geq \mu_{odd}(L^V).$$